

الاشكال الجيومورفولوجية الناتجة عن الحمولة النهرية في مياه شط الحلة

أ.م.د. أفراح إبراهيم شمخي الحلاوي

الباحثة هدى جاسم عباس الجبوري

الاشكال الجيومورفولوجية الناتجة عن الحمولة النهرية في مياه شط الحلة

أ.م.د. أفراح إبراهيم شمخي الحلاوي

الباحثة هدى جاسم عباس الجبوري

جامعة بابل / كلية التربية للعلوم الإنسانية

جامعة بابل / كلية التربية للعلوم الإنسانية

م 2025

hudaj9662@gmail.com

Abstract

The fluvial load is one of the most influential elements in shaping the morphology of mature river channels, particularly in low-gradient alluvial rivers, as it represents a key indicator of the hydrological balance and the interaction between discharge and hydraulic energy. The Shatt Al-Hillah River in Iraq serves as a clear applied model for the geomorphological changes resulting from the variation in the characteristics of the fluvial load, especially under the continuous changes in water discharge and land cover, which influence the sediment dynamics.

This study aims to analyze the three main types of fluvial load—dissolved, suspended, and bed load—in the waters of Shatt Al-Hillah, and to interpret their transport mechanisms and influences on the formation and evolution of geomorphological features, focusing on bank erosion and deposition, the growth of river islands, and the dimensional changes of meanders over the past four decades.

The research relies on documented field data and contemporary measurements to determine flow velocity and water discharge, in addition to analyzing satellite imagery from the years 1985 and 2024. Furthermore, fluvial load estimation equations and geospatial and morphometric analysis software were employed.

The results revealed significant spatial and temporal transformations in channel behavior and sediment distribution, reflecting a decline in the river's hydraulic energy and an increase in lateral deposition processes, accompanied by distinct morphodynamic changes. The study concludes that managing the sedimentary system of Shatt Al-Hillah has become a strategic necessity to mitigate geomorphological hazards and ensure the sustainability of this water resource.

Keywords

Shatt al-Hillah, sediment load, geomorphological processes, morphodynamic change.

المستخلص

تعد الحمولة النهرية أحد أهم العناصر الفاعلة في تشكيل مورفولوجية المجاري النهرية الناضجة، ولا سيما الأنهار السهلية ذات الانحدار الواطئ، إذ تمثل المؤشر الرئيسي على توازن الجريان وتفاعلاته مع الطاقة الهيدرولوجية ويعتبر شط الحلة نموذجاً تطبيقياً واضحاً للتغيرات الجيومورفولوجية الناتجة عن تباين خصائص الحمولة النهرية، لا سيما في ظل التغير المستمر في التصريف المائي والغطاء الأرضي المؤثر في الديناميكية الرسوبيّة. تهدف هذه الدراسة إلى تحليل الأنواع الثلاثة للحمولة (الذائبة، العالقة والقاعية) في مياه شط الحلة، وتقدير آليات نقلها وتأثيراتها في نشوء وتطور الأشكال الجيومورفولوجية، مع التركيز على ظواهر الحت والتربيس الجانبي ونمو الجزر النهرية وتغيير أبعاد المنعطفات خلال أربعة عقود. اعتمدت الدراسة على توثيق البيانات والقياسات الميدانية المعاصرة لتحديد سرع التيار وتصريف

الاشكال الجيومورفولوجية الناتجة عن الحمولة النهرية في مياه شط الحلة

أ.م.د. أفراح إبراهيم شمخي الحلاوي

الباحثة هدى جاسم عباس الجبوري

المياه، بالإضافة إلى تحليل صور الأقمار الصناعية للأعوام 1985 و2024، فضلاً عن الاحتكام إلى معادلات تقدير الحمولة النهرية، وبرمجيات التحليل الجغرافي والمورفومترى. وقد أظهرت النتائج وجود تحولات مكانية وزمانية متقدمة في سلوك المجرى وتوزيع الرواسب، بما يعكس تراجع الطاقة الهيدروليكية للنهر، وتزايد فعالية الترسيب الجانبي، وما يرافقه من تغير مورفوديناميكي واضح. وتأكد الدراسة على أن إدارة النظام الروسي في شط الحلة باتت ضرورة استراتيجية ملحة للحد من المخاطر الجيومورفولوجية وضمان استدامة هذا المورد المائي.

الكلمات المفتاحية

شط الحلة، الحمولة النهرية، العمليات الجيومورفولوجية، التغير المورفوديناميكي.

المقدمة

الحمولة النهرية أحد أهم المكونات الديناميكية الفاعلة في النظام النهري، إذ تمثل المحصلة الروسوبية الناتجة عن عمليات التجوية، والتعرية، والنقل، والترسيب داخل القناة النهرية، مما يجعلها عنصراً رئيساً في تفسير تطور المظاهر الجيومورفولوجية وتغيرها عبر الزمن. وتبذر أهمية دراسة الحمولة النهرية في شط الحلة نظراً لوقوعه ضمن بيئة روسوبية سهلية منخفضة الانحدار، تتفاعل فيها العناصر الهيدرولوجية والمناخية والبشرية بصورة مباشرة، وتأثير في شكل المجرى وتوازنه وتوزيع رواسبه. ومن خلال تبيان حجم، ونوعية، ومصادر هذه الحمولة، تتشكل أنماط روسوبية مختلفة تسهم في بناء الجزر النهرية، ونمو الألسنة الإرسابية، وتطور المنعطفات، وتقهقر الضفاف أو استقرارها، وهي جميعها أنماط جيومورفولوجية

وتقها التحليل المكاني على امتداد مسار النهر خلال العقود الأربع الماضية. وفي ظل ما يواجهه شط الحلة من تغيرات هيدرومناخية، وانخفاض في التصريف المائي، وتوسيع في الاستخدامات البشرية للأرض والمياه، بات تحليل الحمولة النهرية والآثار الجيومورفولوجية المترتبة عنها شرطاً علمياً لفهم استجابات النهر، وتحديد مناطق الخطر الرسوبي، وبناء أسس إدارة مستدامة للبيئة النهرية بما يضمن توازن تدفقي ورسوبي مستقبلي.

منطقة الدراسة :

يقع شط الحلة ضمن الحدود الإدارية لمحافظة بابل، وهو يمثل أحد الفروع الرئيسية المتفرعة من نهر الفرات عند سدة الهندية الكيلو (602)، وتحدد إحداثياته بدائرة عرض ($32^{\circ}7' - 33^{\circ}8'$) شمالاً وخط طول شرقي ($42^{\circ}43' - 50^{\circ}45'$) ويمتد بطول يبلغ نحو (104 كم^2) باتجاه الجنوب والجنوب الشرقي ضمن نطاق السهل الرسوبي المنخفض الانحدار والذي يتراوح بين (20 - 55 م) فوق مستوى سطح البحر. تتكون التربات السائدة في منطقة الدراسة من رواسب العصر الرياعي (الهولوسين) ذات الطبيعة الغرينية والطينية والرملية المتقاوتة، والتي تمثل خزان الرسوبيات الرئيسي المؤثر في تطور المسار النهري وتغيراته.

تتحول مشكلة الدراسة حول التساؤل الرئيسي وهو: هل تتبادر الحمولة النهرية في مياه شط الحلة؟ وما هي تأثيراتها الجيومورفولوجية؟

الفرضية الرئيسية: 1. تتبادر الحمولة النهرية (كماً ونوعاً) مكانياً وزمانياً في مياه شط الحلة.

الاشكال الجيومورفولوجية الناتجة عن الحمولة النهرية في مياه شط الحلة

أ.م.د. أفراح إبراهيم شمخي الحلوى

الباحثة هدى جاسم عباس الجبوري

2. تعد الحمولة النهرية عامل محوري في تشكيل المظاهر الجيومورفولوجية لمجرى شط الحلة.

وقد اعتمدت الدراسة منهجية : تحليلية تطبيقية لقياس الأنواع الثلاث للحمولة النهرية في مياه شط

الحلة، وشملت منهجية التحليل ما يأتي:

1- مصادر البيانات

- القياسات الميدانية لسرعة التيار المائي والتصريف باستخدام جهاز ADCP ضمن خمس محطات قياس رئيسية موزعة طولياً على المجرى.
- التحاليل المختبرية لعينات الرواسب والمياه لتحديد تركيز الأملاح الذائبة والعالقة والقاعدية.
- تحليل صور الأقمار الصناعية للعامين 1985 و2024 لتحديد التغيرات المورفومترية للمنعطفات والالتواءات.

2- حساب الحمولة النهرية

• الحمولة الذائبة وفق الصيغة: $TD = (CD \times Q) / 1000$

TD = نقل الحمولة الذائبة الكلية (كغم/ثا)

CD = تركيز المواد الذائبة الكلية (ملغم/لتر)

Q = تصريف المياه ($m^3/\text{ثا}$)

$T-TOTAL = (TD \times 60 \times 60 \times 24 \times N) / 1000000000$

كمية الموسم الإجمالي (طن/مليون) = تصريف الحمولة (كغم /ثا) $\times 60 \times 60 \times 24 \times 24 \times$ عدد أيام الموسم / 1000000000 وتنطبق هذه المعادلة على الحمولة العالقة والقاعدية.

$$TS = (CS \times Q) / 1000$$

$$TB = (CB \times Q) / 1000$$

3- التحليل المورفومترى والجيومورفولوجي: حساب معامل الانعطاف والانتشار الطولي للمنعطفات والالتواءات لتحديد درجات التشوه الرسوبي في مسار النهر، وتم مقارنة القيم بين سنتي الأساس 1985 و 2024 لتقدير المسار الجيومورفولوجي.

المبحث الأول

أولاً: الخصائص الكمية

1- تراكيز وكمية الحمولة الذائبة الكلية (TDS) Total Dissolved Solids Concentrations (TDS) اظهرت نتائج التحليل في الجدول (1) أن متوسط تراكيز الحمولة الذائبة الكلية سجلت تبايناً ملحوظاً بين الموسما، حيث سجل الربيع أعلى معدل موسمي بمقدار (900 ملغم/لتر) يليه الصيف ثم الشتاء بمقدار (856، 871، 893 ملغم/لتر) على التوالي، اما الخريف فقد سجل أدنى معدل بين الموسما بمقدار (761 ملغم/لتر) وتدعم الخريطة (1) هذه النتائج بصرياً، اذ تراوحت القيم بين 761 ملغم/لتر كأدنى قيمة في محطتي St2 و St5 خلال موسمي الصيف والخريف، و988 ملغم/لتر كأعلى قيمة في St1 صيفاً، كما سجل أعلى معدل إجمالي موسمي لنقل الحمولة الذائبة في فصل الربيع بمقدار (9.3716 9.3716 مليون طن) يليه الصيف (8.4470 8.4470 مليون طن) ثم الخريف (7.8743 7.8743 مليون طن) في المقابل سجل الشتاء أدنى القيم بأجمالي قدره (7.0438 7.0438 مليون طن) وتوضح هذه النتائج أن ارتفاع التركيز لا يقود إلى أعلى إجمالي موسمي، حيث يتحدد الحمل الكلي من خلال التفاعل بين تركيز الأملاح وحجم التصريف المائي في كل موسم، وبذلك فقد بلغ الإجمالي السنوي نحو 32.740 32.740 مليون طن من الحمولة الذائبة التي نقلها المجرى بكامله خلال السنة الهيدرولوجية.

الجدول (1)

القيم الموسمية لتراكيز وكمية الحمولة الذائبة الكلية TDS في محطات الدراسة على مجرى شط الحلة

محطات القياس	الموسم N	التصريف (م³/ث)	معدل تركيز الحمولة الذائبة (ملغم/لتر) CD	معدل نقل الحمولة الذائبة (ملغم/ث) TD	الإجمالي الموسمي (مليون/طن)
St1	الصيف	124	988	122.512	9.7382339
	2024\7\28	120	761	91.32	7.2588442

الاشكال الجيومورفولوجية الناتجة عن الحمولة النهرية في مياه شط الحلة

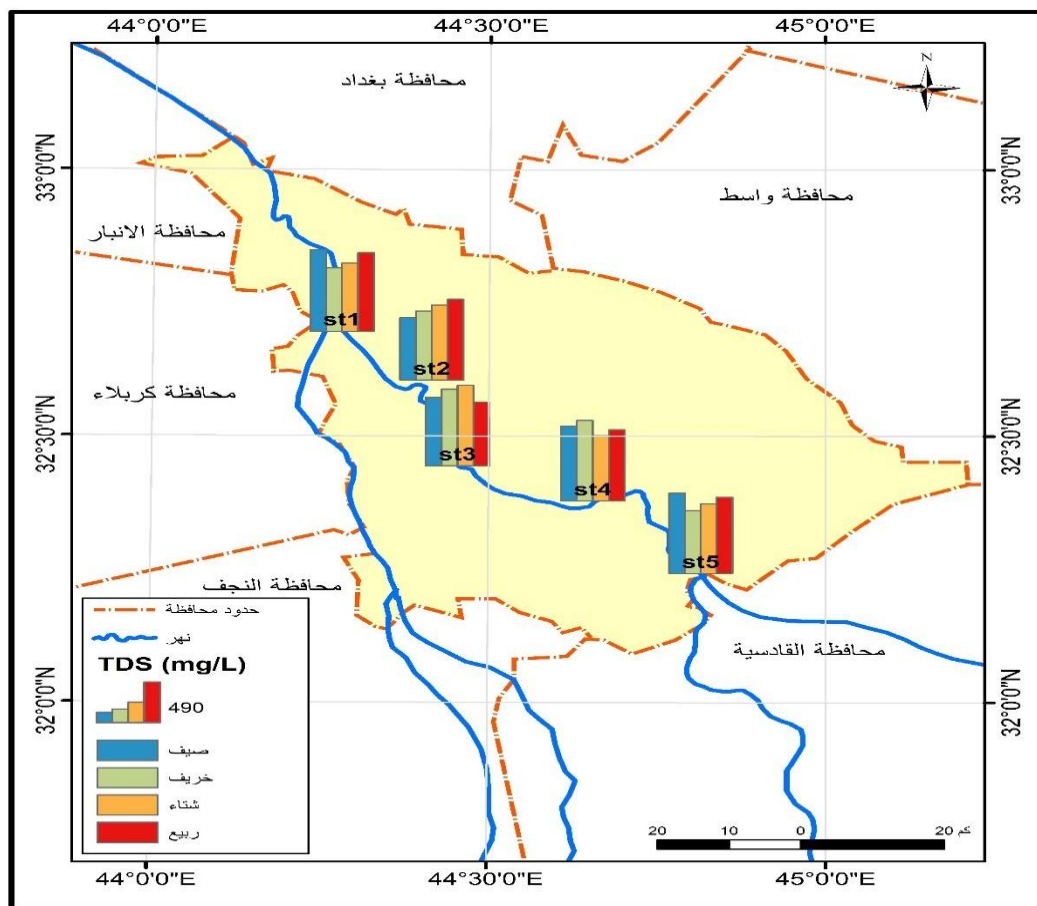
أ.م.د. أفراح إبراهيم شمخي الحلوى

الباحثة هدى جاسم عباس الجبوري

7.7756751	97.822	829	118		St3
8.3458426	104.995	913	115		St4
9.0768937	114.192	976	117		St5
8.4469513	106.267	893	119		المعدل
7.2931622	92.76	773	120		St1
7.7179677	98.163	839	117		St2
8.4199385	107.0912	928	115.4		St3
8.9470967	113.796	981	116		St4
6.9705287	88.6565	761	116.5		St5
7.8743508	100.152	856	117		المعدل
6.8330822	87.874	829	106		St1
7.418965	95.4085	913	104.5		St2
7.8170573	100.528	976	103		St3
6.3444384	81.59	796	102.5		St4
6.7765507	87.147	842	103.5		St5
7.0438118	90.584	871	104		المعدل
10.24799	128.925	955	135		St1
10.371038	130.473	981	133		St2
7.9567488	100.1	770	130		St3
8.8212603	110.976	867	128		St4
9.4849056	119.325	925	129		St5
9.3716352	117.9	900	131		المعدل

المصدر: التحاليل المختبرية في جامعة القاسم الخضراء، قسم التلوث البيئي، ومعادلة كمية الرواسب.

الخريطة (1) تراكيز الحمولة الذائبة (TDS) في محطات الدراسة على مجرى شط الحلة



المصدر: ⁽¹⁾ بالاعتماد على جدول (1).

⁽²⁾ باستخدام برنامج نظم المعلومات الجغرافية ARS GIS.10.8

2- تراكيز وكمية المواد العالقة (Tss)

من ملاحظة الجدول (2) يتبيّن التفاوت الموسمي الواضح في قيم المادة الصلبة العالقة، حيث سجل موسم الصيف أعلى معدل للحمولة العالقة (295.96 ملغم/لتر) يليه موسم الربيع ثم الشتاء بتركيز مقداره (285.25 ملغم/لتر، 189.83 ملغم/لتر) على التوالي وفي المقابل سجل أدنى معدل في موسم الخريف (168.51 ملغم/لتر) وتدعم الخريطة (2) هذه النتائج بصرياً، إذ تراوحت القيم بين 304.46 ملغم/لتر كأعلى قيمة في محطة St1 صيفاً و 165.2 ملغم/لتر كأدنى قيمة في St3 خريفاً.

الجدول (2)

القيم الموسمية لتراكيز وكمية الحمولة العالقة (TSS) في محطات الدراسة على مجرى شط الحلة

محطات القياس	الموسم	التصريف (م³/ث)	معدل تركيز الرواسب المعلقة (ملغم/لتر) (CS)	معدل نقل الرواسب المعلقة (kg/ث) (TS)	كمية الإجمالي الموسمي (مليون طن)
St1	الصيف	124	304.46	37.753	3.00091

الاشكال الجيومورفولوجية الناتجة عن الحمولة النهرية في مياه شط الحلة

أ.م.د. أفراح إبراهيم شمخي الحلوى

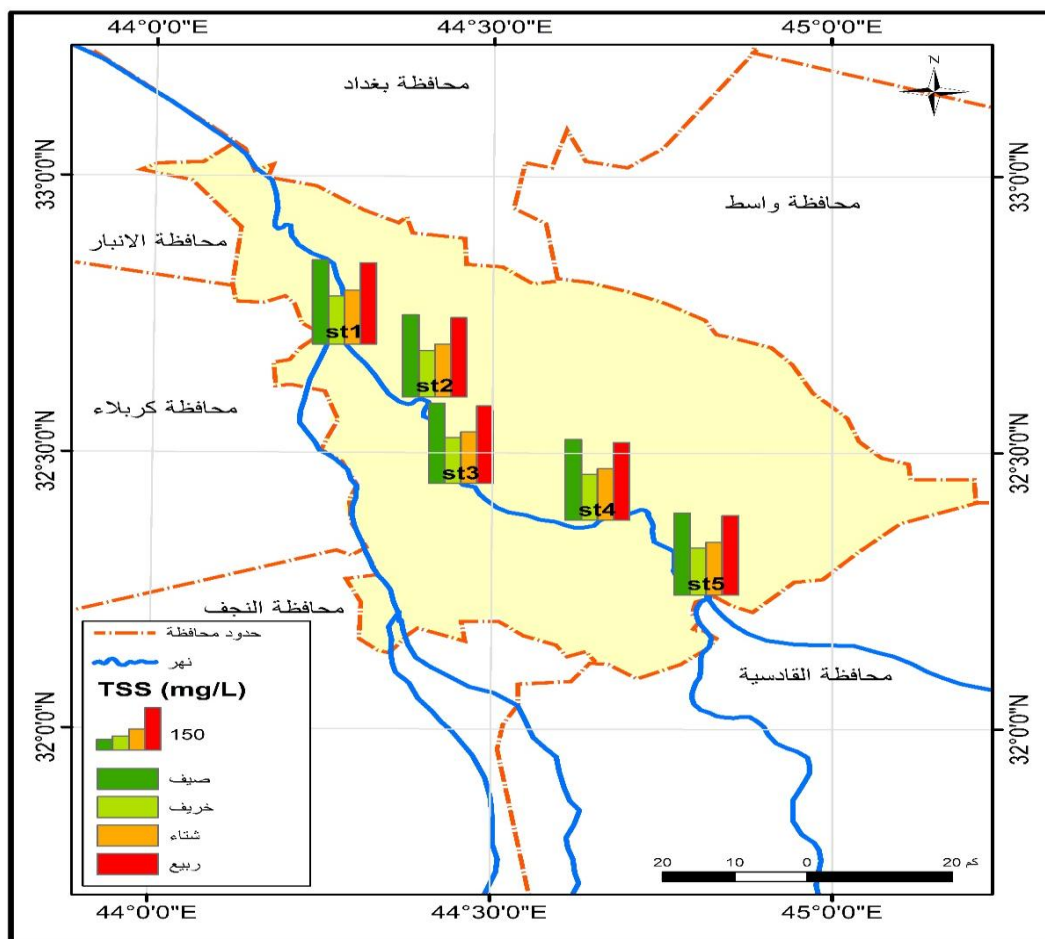
الباحثة هدى جاسم عباس الجبوري

2.83025	35.606	296.72	120	2024\7\28	St2
2.722226	34.247	290.23	118		St3
2.661258	33.48	291.13	115		St4
2.764752	34.782	297.28	117		St5
2.79588	35.174	295.96	119		المعدل
1.637738	20.83	173.58	120	الخريف 2024\10\15	St1
1.548657	19.697	168.4	117		St2
1.498888	19.064	165.2	115.4		St3
1.512411	19.236	165.83	116		St4
1.553217	19.755	169.57	116.5		St5
1.550182	19.716	168.51	117		المعدل
1.60971	20.701	195.29	106	الشتاء 2025\1\20	St1
1.542525	19.837	189.83	104.5		St2
1.491903	19.186	186.27	103		St3
1.480395	19.038	186.65	102.5		St4
1.538171	19.781	191.12	103.5		St5
1.53254	19.709	189.83	104		المعدل
3.14995	39.628	293.54	135	الربيع 2025\4\5	St1
3.019034	37.981	285.57	133		St2
2.888991	36.345	279.58	130		St3
2.854414	35.91	280.55	128		St4
2.943123	37.026	287.02	129		St5
2.971102	37.378	285.25	131		المعدل

المصدر: التحاليل المختبرية في جامعة القاسم الخضراء، قسم التلوث البيئي، ومعادلة كمية الحمولة العالقة.

كما سجل الربع أعلى كمية أجمالي موسمي بمعدل (2.9711 ملليون طن) نتيجة زيادة التصريف بفعل ذوبان الثلوج والنشاط الزراعي، تلاه الصيف بمعدل (2.7958 ملليون طن)، أما الخريف فانخفض إلى (1.5502 مليون طن) في المقابل سجل الشتاء أدنى القيم بمعدل (1.5325 مليون طن) وبذلك بلغ الإجمالي السنوي نحو 8.850 مليون طن من الحمولة العالقة التي نقلها المجرى بكامله خلال السنة الهيدرولوجية.

الخريطة (2) تراكيز الحمولة العالقة (TSS) في محطات الدراسة على مجرى شط الحلة



المصدر: ⁽¹⁾ بالاعتماد على جدول (2).

⁽²⁾ باستخدام برنامج نظم المعلومات الجغرافية ARS GIS.10.8

3- تراكيز وكمية المواد القاعية (Cb)

أظهرت النتائج الميدانية في الجدول (3) لتراكيز الحمولة القاعية في مجرى شط الحلة تبايناً واضحًا بين المواسم إلا ان التوزيع المكاني عبر المحطات أتسم بدرجة عالية من التجانس داخل كل موسم، حيث سجل الربع أعلى متوسط بمقدار (883.6 غ) يليه الصيف (832.8 غ) ثم الشتاء (797.4 غ) وتدعم الخريطة (3) هذه النتائج بصرياً، حيث شهدت حين سجل الخريف أدنى القيم بمقدار (124 م³/ثا) إجمالي نقل قاعي يفوق مثيلاتها في المحطات ذات التصريف الأعلى (St1 بحدود 135-124 م³/ثا) إجمالي نقل قاعي يفوق مثيلاتها في المحطات ذات التصريف الأضعف، وهو ما يؤكد العلاقة الطردية العامة بين النقل والتتصريف، وسجل الربع أعلى قيمة اجمالي موسمي بمعدل بلغ (44.33973 مليون/طن) نتيجة زيادة التصريف بفعل ذوبان الثلوج والأمطار تلاه الصيف بمعدل (37.07718 مليون/طن) لاستمرار حركة الرواسب أما الشتاء فانخفض (22.768136 مليون/طن) بسبب تراجع الطاقة الهيدروليكيه في حين سجل الخريف أدنى القيم

الاشكال الجيومورفولوجية الناتجة عن الحمولة النهرية في مياه شط الحلة

أ.م.د. أفراح إبراهيم شمخي الحلوى

الباحثة هدى جاسم عباس الجبوري

20.71742 مليون طن) ومن خلال ذلك بلغت كمية الإجمالي السنوي من الحمولة القاعية التي نقلها المجرى 87.825 مليون طن خلال السنة الهيدرولوجية.

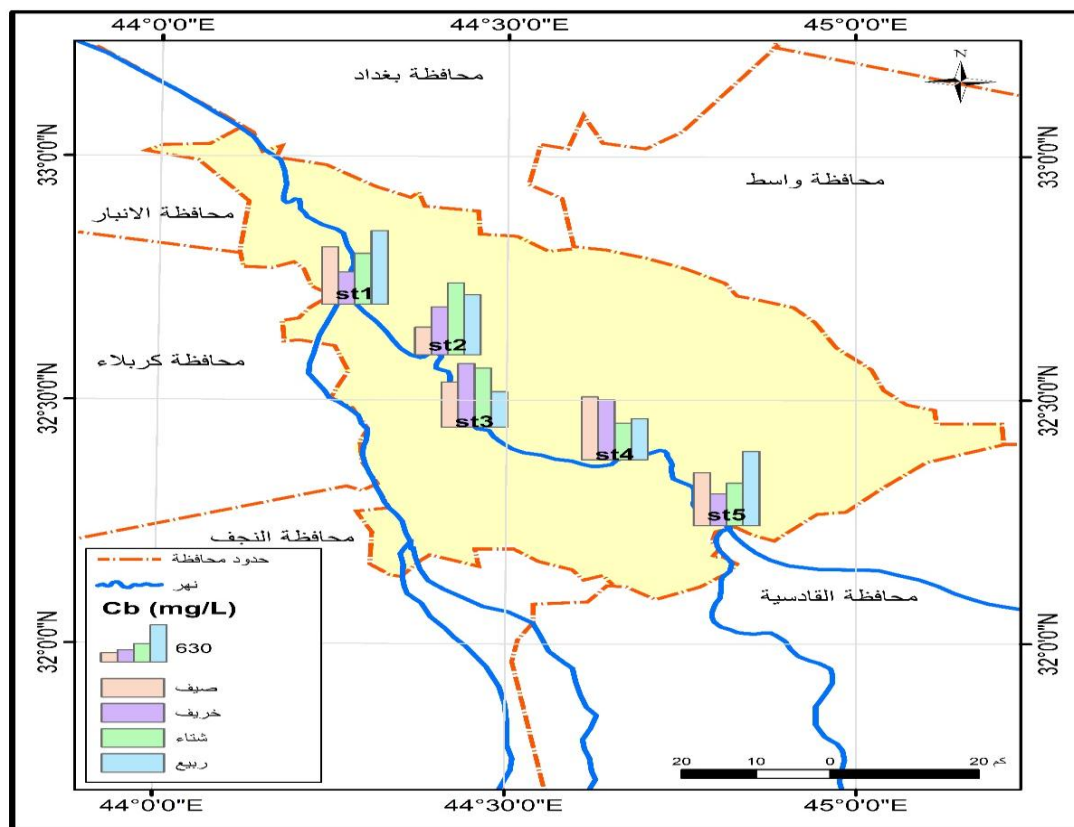
الجدول (3)

القيم الموسمية لكمية تراكيز الرواسب القاعية Cb في محطات الدراسة على مجرى شط الحلة

الموسم N	محطات القياس	الموسم 2024\7\28	الموسم 2024\10\15	الموسم 2025\1\20	الموسم 2025\4\5
St1	المعدل				
St2					
St3					
St4					
St5					
St1	المعدل				
St2					
St3					
St4					
St5					
St1	المعدل				
St2					
St3					
St4					
St5					
St1	المعدل				
St2					
St3					
St4					
St5					
St1	المعدل				
St2					
St3					
St4					
St5					
St1	المعدل				
St2					
St3					
St4					
St5					
St1	المعدل				
St2					
St3					
St4					
St5					

المصدر: التحاليل المختبرية في جامعة القاسم الخضراء، قسم التلوث البيئي، ومعادلة كمية الحمولة القاعية.

الخريطة (3) تراكيز الحمولة القاعية (CB) في محطات الدراسة على مجرى شط الحلة



المصدر: ⁽¹⁾ بالاعتماد على جدول (3).

(2) استخدام برنامج نظم المعلومات الجغرافية ARS GIS.10.8

ومن ملاحظة الجدول (4) الذي يدعم نتائج الجدول السابق (3) أن محطات St1, St3, St4 و St5 تميزت بغلبة النسجة الرملية حيث تجاوزت 84% من مكوناتها، ما يعني انخفاض تماسكها وهي خصائص ترفع من كفاءة نقل الرواسب القاعية، أما المحطتان St1 و St2 أظهرتا نسبا أعلى من الطين (12.4.8%) والغرين (39.2, 32.4%) على التوالي لتمثلان بيئات أكثر تماسكا تحد من حركة الرواسب القاعية نسبياً.

الجدول (4)

نتائج تحليل النسجة الحبيبية لعينات التربة القاعية في محطات الدراسة

المحطات	طين (%)	غرين (%)	رمل (%)	النسجة	مثلث النسجة
---------	---------	----------	---------	--------	-------------

الأشكال الجيومورفولوجية الناتجة عن الحمولة النهرية في مياه شط الحلة

أ.م.د. أفراد إبراهيم شمخي الحلوى

الباحثة هدى جاسم عباس الجبوري

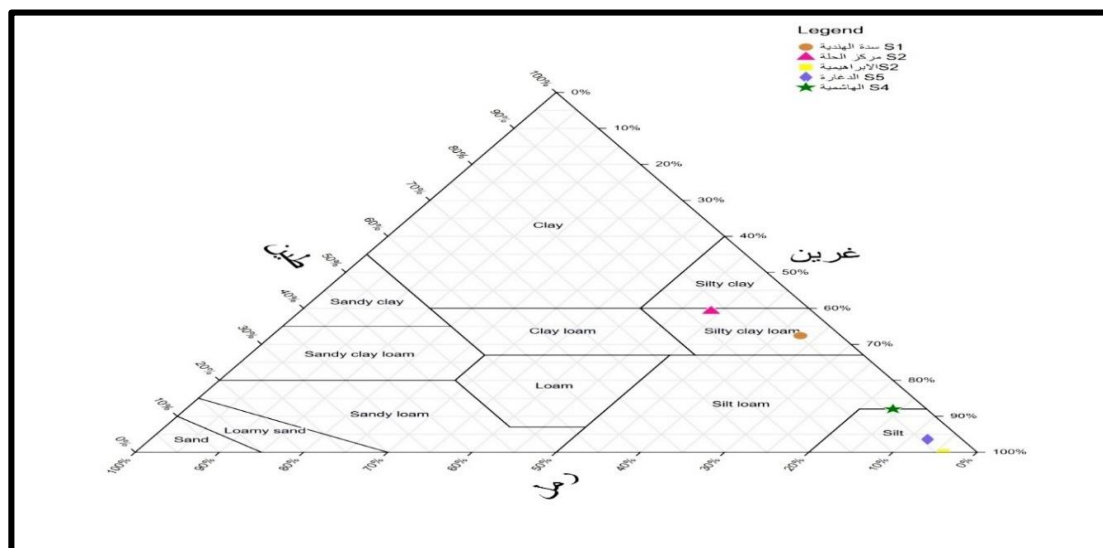
غربينة رملية	Loamy	62.8	32.4	4.8	St1
غربينة رملية	Loamy	48.8	39.2	12	St2
رملية	Sandy	96	0	4	St3
رملية	Sandy	84	12	4	St4
رملية	Sandy	92.4	3.6	4	St5
غربينة رملية	Loamy	76.8	17.44	5.76	المعدل

المصدر: التحاليل المختبرية في جامعة القاسم الخضراء، كلية الزراعة، قسم علوم التربة والموارد المائية . 2024\12\19،

كما يدعم مثلث التصنيف النسجي هذه النتائج الشكل (1) اذ وقعت المحطات St3، St4 و St5 ضمن المنطقة الرملية، بينما وقعت محطتي St1 و St2 ضمن الغرينية رملية وهو ما يعزز العلاقة الوثيقة بين التركيب النسجي وفعالية الحمولة القاعية.

الشكل (1)

المثلث النسجي للعينات الرسوبيّة القاعية في محطات الدراسة لعام (2024-2025)



المصدر: ⁽¹⁾ بالاعتماد على جدول (4).

⁽²⁾United States Department Of Agriculture, Soil Survey Manual, Usda Handbook No. 18, Washington, D.C.: U.S. Government Printing Office, 1993, Pp. 141–144.

⁽³⁾ برنامج Ternaryplot.Com

ثم يأتي جدول الوصف المورفولوجي (5) ليظهر تطابقاً مع هذا الاتجاه، حيث تميزت المحطتين St1 و St2 بترية ذات صلابة شديدة Very Hard وتماسك قوي (الزجة لاصقة) ولدانة عالية مع بنية

كتلية شبه زاوية قوية، ما يمنحها مقاومة عالية لقوى الجريان، وبالتالي تنخفض معدلات التفكك والجرف القاعي، اما المحطات St3 و St4 و St5 فقد أظهرت تربتها تماسك ضعيف إلى متوسط وصلابة قليلة Slightly Hard قابلة للتقوية إلى لدونة منخفضة - معروفة ببنية حبيبية معتدلة إلى ضعيفة، وتشير هذه الصفات إلى بيئة قاعية مفككة يسهل على الجريان النهري تحريك جزيئاتها وهو ما يفسر ارتفاع تركيز الحمولة القاعية في المقاطع الدنيا من الشط خصوصاً في فترة ذروة الجريان (الربيع) ، كما أن لون التربة القاعية المصنف وفق نظام Munsell يميل إلى الرمادي الداكن أو الداكن جداً الناتج عن عمليات الاكسدة وهو دلالة أخرى على ضعف البنية وقابليتها للتقوية والنقل . وبذلك فإن الخصائص المورفولوجية تمثل مؤشراً حاسماً في تفسير سلوك الحمولة القاعية، حيث تتفاعل صفات الصلابة والبنية واللادانة مع خصائص النسجة والجريان لتشكل ديناميكية النقل القاعي في مجرى شط الحلة.

الجدول (5) الخصائص المورفولوجية لعينات الرواسب القاعية لمحطات الدراسة

القواءمية	المسامية	التركيب البنوي للترابة	لون التربة رطبة	لون التربة جافة	المحطة
Very Hard, Firm, Sticky And Plastic صلبة جداً، متمسكة، لزجة ولدنة	Many Fine كثيرة ودقيقة	Strong, Fine Subangular Blocky كتلي غير حاد الزوايا قوي ودقيق	Brown (10yr5/3) Mبني	Light Brown (10yr6/2) Dبني فاتح	St1
Very Hard, Firm, Sticky And Plastic صلبة جداً، متمسكة، لزجة ولدنة	Many Fine كثيرة ودقيقة	Strong, Fine Subangular Blocky كتلي غير حاد الزوايا قوي ودقيق	Brown (10yr5/3) Mبني	Very Pale Brown (10yr3) Dبني شاحب جداً	St2
Slightly Hard, Friable, Slightly Sticky/ Non- Plastic قليلة الصلابة، هشة، قليلة اللزوجة وغير لدنة	Many Fine كثيرة ودقيقة	Weak Medium Subangular Blocky كتلي غير حاد الزوايا ضعيف ومتوسط الحجم	Very Dark Gray (10yr3/1) Mرمادي داكن جداً	Gray (10yr5/1) Dرمادي	St3

الاشكال الجيومورفولوجية الناتجة عن الحمولة النهرية في مياه شط الحلة

أ.م.د. أفراد إبراهيم شمعي الحلوى

الباحثة هدى جاسم عباس الجبوري

Slightly Hard, Friable, Slightly Sticky/Plastic قليلة الصلابة، هشة، قليلة للزوجة واللدنة	Many Fine كثيرة ودقيقة	Moderate Medium Subangular Blocky كثني غير حاد الزوايا ومتعدل ومتوسط الحجم	Dark Gray (10yr 4/1) M رمادي غامق	Light Gray (10yr6/1) D رمادي فاتح	St4
Slightly Hard, Friable, Slightly Sticky/Plastic قليلة الصلابة، هشة، قليلة للزوجة واللدنة	Many Fine كثيرة ودقيقة	Moderate Medium Subangular Blocky كثني غير حاد الزوايا ومتعدل ومتوسط الحجم	Dark Gray (10yr 4/1) M رمادي غامق	Gray (10yr5/1) D رمادي	St5

المصدر: التحاليل المختبرية في جامعة القاسم الخضراء، كلية الزراعة، قسم علوم التربة والموارد المائية،

.2024\12\19

ثانياً: الخصائص النوعية :

من ملاحظة الجدول (6) أظهرت نتائج التحليل النوعي للعينات المأخوذة من محطات شط الحلة الخمس (St1-St5) خلال المواسم الأربع (الصيف، الخريف، الشتاء، الربيع) تبايناً واضحاً في الخصائص الفيزيائية والكيميائية، مما يعكس التفاعل الديناميكي بين العوامل الهيدرولوجية والمناخية والنشاط البشري، وهو ما يؤثر بصورة مباشرة في حجم وتركيب الحمولة النهرية، حيث بلغت قيم الأنس الهيدروجيني (pH) بين (23.8-6.43) بمتوسط (7.34)، وهي ضمن المجال القاعدي المعتمد. ويلاحظ ارتفاع القيم في الربيع والشتاء (7.91-8.12) يعود إلى زيادة النشاط الحيوي وتكون الكربونات نتيجة التمثيل الضوئي للنباتات المائية، في حين ينخفض في الصيف (7.54-6.43) بسبب ارتفاع درجات الحرارة وزيادة تحلل المواد العضوية، و يؤدي ارتفاع الأنس الهيدروجيني إلى ترسيب الكربونات.

الجدول (6) الخصائص النوعية للحمولة النهرية في مياه شط الحلة

الربيع	الشتاء	الخريف	الصيف	المحطة	الخاصية
8.12	7.43	6.76	6.43	St1	pH
8.01	7.29	6.68	7.29	St2	
8.23	7.46	6.86	7.54	St3	
7.99	7.38	6.66	7.32	St4	
7.91	7.51	6.59	7.45	St5	
8.05	7.41	6.71	7.21	المعدل الموسمي	

0.093	0.069	0.078	0.088	St1	Salinity (%)
0.095	0.068	0.079	0.078	St2	
0.091	0.064	0.076	0.098	St3	
0.094	0.071	0.079	0.081	St4	
0.091	0.071	0.076	0.087	St5	
0.093	0.069	0.078	0.086	المعدل الموسمي	
303	275	253	295	St1	Ca. Hardness
279	207	233	289	St2	
240	218	200	288	St3	
246	257	203	281	St4	
228	227	190	279	St5	
259	237	216	286	المعدل الموسمي	
49.72	44.58	40.91	44.57	St1	Mg. Hardness
46.12	36.08	38.44	39.12	St2	
41.19	37.42	34.33	39.45	St3	
43.68	41.90	34.74	40.79	St4	
39.71	37.86	33.10	39.89	St5	
44.08	39.57	36.30	40.76	المعدل الموسمي	
1468	1162	1224	1562	St1	E.C (μS/cm)
1437	1107	1198	1451	St2	
1429	1131	1191	1329	St3	
1497	1138	1248	1302	St4	
1398	1186	1165	1298	St5	
1446	1145	1205	1388	المعدل الموسمي	
560	442	466	521	St1	Total Hardness
511	323	426	502	St2	
433	342	360	511	St3	
440	404	366	519	St4	
408	347	340	509	St5	
470	372	392	512	المعدل الموسمي	
171.42	154.35	142.88	154.34	St1	Alkalinity
162.78	147.74	135.58	147.74	St2	
174.54	157.00	145.31	151.79	St3	
188.94	146.47	157.47	149.97	St4	
164.16	170.68	136.80	150.23	St5	
172.37	155.25	143.61	150.81	المعدل الموسمي	
1296	725	780	539	St1	Phosphate
1175	530	600	530	St2	
972	558	600	551	St3	
993	558	630	548	St4	
912	589	570	545	St5	
1070	592	636	543	المعدل الموسمي	
2.64	5.64	4.33	4.96	St1	Nitrate
2.34	4.17	3.33	5.67	St2	
2.04	4.91	3.33	5.79	St3	
2.11	4.39	3.53	5.89	St4	
1.89	4.50	3.17	5.53	St5	

الاشكال الجيومورفولوجية الناتجة عن الحمولة النهرية في مياه شط الحلة

أ.م.د. أفراد إبراهيم شمخي الحلوى

الباحثة هدى جاسم عباس الجبوري

المعدل الموسمي	St1	St2	St3	St4	St5	Nitrite
2.20	4.72	3.54	5.57			
20.29	20.29	16.91	21.48			
17.05	14.82	14.21	16.82			
15.92	15.91	13.25	19.45			
16.32	17.53	13.66	18.33			
14.82	16.38	12.35	19.39			
16.88	16.99	14.08	19.09			
5.19	2.84	2.17	1.98	St1		
3.99	1.74	1.97	1.81	St2		
3.96	1.84	1.67	1.89	St3		
4.72	2.64	1.77	1.51	St4		
3.84	1.95	1.58	1.75	St5		
4.34	2.20	1.83	1.79	المعدل الموسمي		
936	896	1080	823	St1		
720	722	979	798	St2		
720	770	810	789	St3		
756	930	827	789	St4		
684	786	760	791	St5		
763	821	891	798	المعدل الموسمي		

المصدر: التحاليل المختبرية في جامعة القاسم الخضراء، قسم التلوث البيئي.

والكالسيت ضمن الحمولة العالقة، بينما يسبب انخفاضه زيادة ذوبان المعادن الدقيقة مما يعزز الحمولة الذائبة. أما الملوحة (Salinity) فتراوحت بين (0.064-0.098 %)، بمتوسط (0.081 %)، وسجلت أعلى القيم في الصيف نتيجة التبخر العالى وضعف التصريف المائي، مما يرفع تركيز الأملاح الذائبة، تساهم هذه الزيادة في رفع كثافة المياه وتقليل طاقة الجريان، الأمر الذي يؤدي إلى ترسيب الحمولة الدقيقة وثبتت الرواسب في قاع القناة، بينما في الشتاء ومع زيادة التصريف، تنخفض الملوحة، فترتزدад قدرة النهر على نقل الرواسب المعلقة.

قيم عسر الكالسيوم (Ca Hardness) تراوحت بين (190-303 ملغم/لتر) بمتوسط (249.6 ملغم/لتر)، في حين بلغت قيم عسر المغنيسيوم (Mg Hardness) بين (33.10-49.72 ملغم/لتر) بمتوسط (40.18 ملغم/لتر)، هذه القيم المرتفعة تعكس نتاج ذوبان الصخور الجيرية والكلسية المنتشرة في حوض الفرات، خصوصاً في المناطق الواقعة شمال الحلة. ويؤدي هذا الارتفاع إلى زيادة تكوين الرسوبيات الكربونية، ما يرفع نسبة الحمولة القاعية مقارنة بالحمولة المعلقة.

أما التوصيلية الكهربائية (E.C) فتراوحت بين (710-1562 $\mu\text{S}/\text{cm}$) بمتوسط (1296 $\mu\text{S}/\text{cm}$)، وهي مؤشر مباشر على تركيز الأملاح الذائبة الكلية، يزداد هذا المؤشر في الصيف بسبب ارتفاع درجة الحرارة والتبحر، مما يزيد من تراكم الأيونات الذائبة مثل الكالسيوم والصوديوم والكلوريد، مما يؤدي إلى زيادة الحمولة الذائبة وتقليل كفاءة النقل الميكانيكي للحمولة الصلبة.

كما بلغت قيم العسرة الكلية (Total Hardness) بين (323-560 ملغم/لتر) بمتوسط (436.5 ملغم/لتر)، وهي ضمن فئة المياه العسرة، مما يعكس ارتفاع معدلات الذوبان المعدني في الحوض النهري الذي يزيد من ترسيب الكربونات في المناطق ذات التيار البطيء، مما يرفع معدل الإرساب داخل المجرى ويقلل من كفاءة الجريان.

بلغت القاعدية (Alkalinity) بين (135.58-188.94 ملغم/لتر) بمتوسط (155.5 ملغم/لتر)، التي تعزى إلى وفرة أيونات البيكربونات والكربونات الناتجة عن تفاعل المياه مع الصخور الجيرية، إذ ان ارتفاعها يؤدي إلى استقرار كيميائي للمياه وتشكيل ترسيبات كلسية دقيقة تزيد من الحمولة العالقة في فترات الهدوء الهيدروليكي.

أما الفوسفات (Phosphate) فقد تراوحت بين (1296-530 ملغم/لتر) بمتوسط (710 ملغم/لتر)، وهي قيم مرتفعة نسبياً وتشير إلى تأثر المياه بالمخلفات الزراعية والمبازل والصرف المنزلي حيث تؤدي زيتها إلى تنشيط النمو الطحلبي (Eutrophication)، مما يزيد من الحمولة العضوية الدقيقة التي ترفع عكارة المياه وتقلل من عمق الاختراق الضوئي مسبباً اضرار عدّة على الموارد المائية ابرزها طمر المواطن الحياتية للأسماك في قل التنوّع الاحيائي داخل النظام النهري.

وسجلت النترات (Nitrate) بين (1.89-89.5 ملغم/لتر) بمتوسط (4.00 ملغم/لتر)، والنتريت (Nitrite) بين (12.35-21.48 ملغم/لتر) بمتوسط (16.76 ملغم/لتر)، وكلاهما ناتج عن تحلل المواد العضوية والسماد الزراعي ارتفاعهما يؤدي إلى زيادة المواد العضوية الدقيقة في الحمولة العالقة، ويعزز عمليات الأكسدة داخل عمود الماء.

أما الكبريتات (Sulphate) فقد تراوحت بين (5.19-1.51 ملغم/لتر) بمتوسط (2.54 ملغم/لتر)، والكلوريد (Chloride) بين (818-1080 ملغم/لتر) بمتوسط (684 ملغم/لتر). وتشير هذه القيم إلى التأثير المباشر للتبحر والتصريف الزراعي في زيادة الأيونات الذائبة، يزيد تراكمهما من لزوجة المياه وكثافتها، مما يقلل من طاقة الجريان ويعزز الإرساب الكيميائي للحمولة الدقيقة العالقة.

الاشكال الجيومورفولوجية الناتجة عن الحمولة النهرية في مياه شط الحلة

الباحثة هدى جاسم عباس الجبوري

أ.م.د. أفراح إبراهيم شمخي الحلاوي

وبشكل عام تظهر البيانات أن الخصائص الكيميائية ترتفع في الصيف والخريف، بينما تنخفض في الشتاء والربيع. ويعكس هذا التباين الموسمي علاقة عكسية بين التصريف المائي وتركيز الخصائص الكيميائية، حيث يؤدي انخفاض التصريف وارتفاع التبخر إلى زيادة الملوحة والعسر والتوصيلية، وبالتالي زيادة الحمولة الذائبة والإربادات الكيميائية، أما في فصل الوفرة المائية (الربيع) فيهيمن النقل المعلق أذ أن زيادة الجريان تعمل على نقل الحمولة المعلقة والصلبة بشكل أكبر وتقليل تراكم الرواسب الفاعية، مما يُظهر أن الحمولة النهرية في شط الحلة تخضع لдинاميكية موسمية توازن بين الآذابة والترسيب تبعاً للخصائص الكيميائية والهيدرولوجية للنظام النهري.

المبحث الثاني

الآثار الجيومورفولوجية الناتجة عن الحمولة النهرية :

أظهرت نتائج التحليل الطبوغرافي والمورفومترى للمرئيات الفضائية بين سنتي الأساس 1985 و 2024 وجود تغير جيومورفولوجي واضح في مسار شط الحلة، يعكس تفاعل النظام النهري مع تغيرات الحمولة النهرية والانحدار والطاقة الهيدروديناميكية، وقد تم توثيق هذه التحولات في عدة أشكال جيومورفولوجية رئيسة أبرزها : المنعطفات والالتواءات* ، وهي تمثل نواتج مباشرة للتفاوت الزمني في الحت والترسيب.

1. المنعطفات والالتواءات النهرية **Meanders & River Bends**

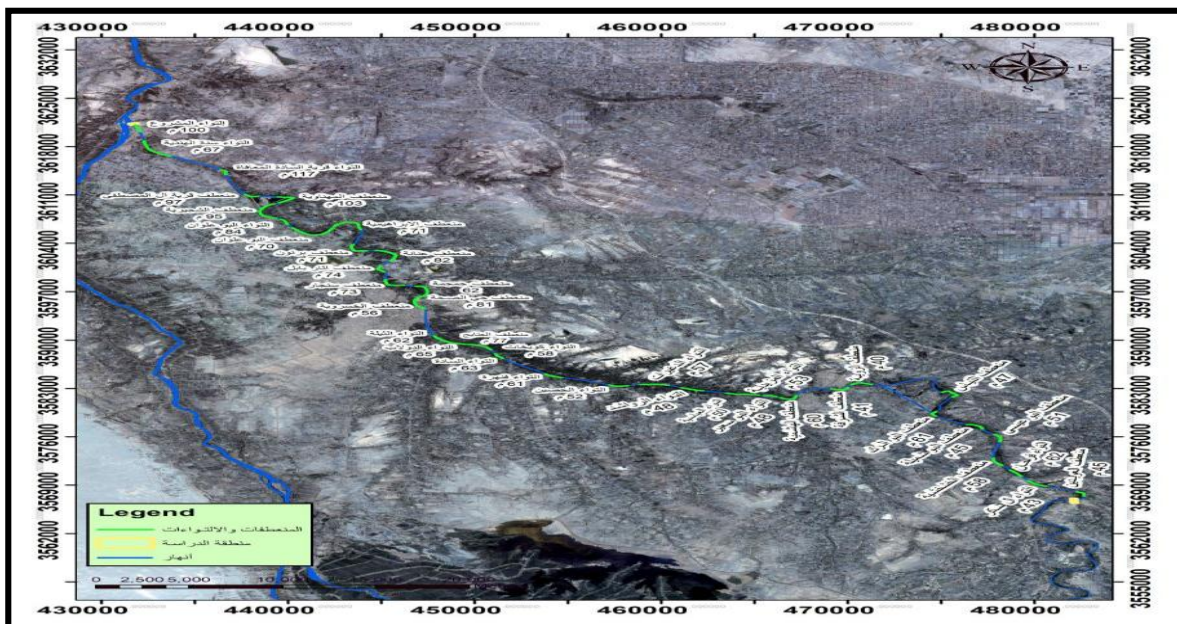
أن التحليل الطولي لعرض المجرى عبر المنعطفات والالتواءات يعتبر مؤشر دقيق جداً على نشاط العمليات النهرية، ويساعد في تفسير مواضع التوسيع والانكماس في مجرى شط الحلة المرتبطة بالتغييرات المستمرة في كميات الحمولة النهرية وهو الأساس لفهم التطور المستقبلي وتحديد مناطق الخطر الجيومورفولوجي.

ولتقييم التغيرات المورفومترية على مدى العقود الأخيرة تُعرض الخريطة (4) و(5) أبعاد المنعطفات والالتواءات النهرية في شط الحلة لعام 1985 والذي يمثل خط الأساس للتحليل المقارن عبر العقود الأربعية وعام 2024، كما ويوضح الجدول (7) تفاصيل الأبعاد للالتواءات والمنعطفات في شط الحلة، حيث أظهرت المقارنة بين صور عام 1985 وصور عام 2024 أن عدد المنعطفات والالتواءات بقي ثابتاً من حيث العدد، إلا أن أبعادها تطورت بشكل واضح، هذا النمط من التطور يُعد اختباراً دقيقاً

لمعادلة الانعطفات التي سجلت للمجرى بقيمة 1.8 وهو ما يعني انتقال شط الحلة إلى مرحلة التواء عالي التطور.

(*) للاستزادة مراجعة المصدر

الخريطة (4) أبعاد المنعطفات والاتوءات النهرية في مجرى شط الحلة عام (1985)



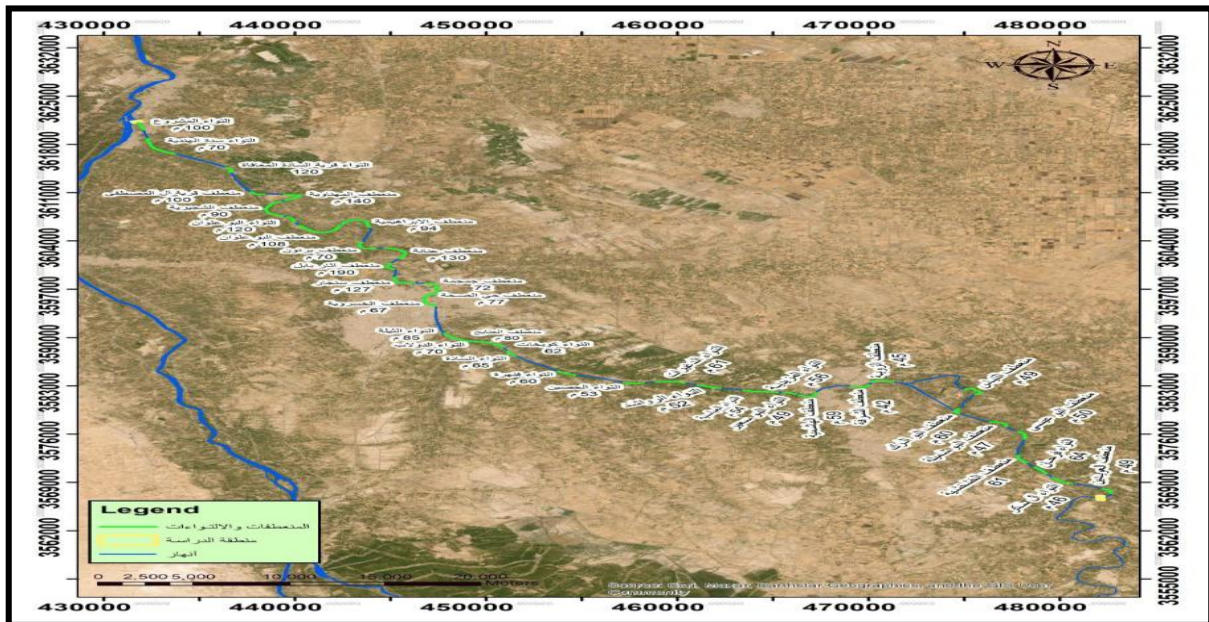
المصدر: بالاعتماد على الصورة الفضائية لسنة 1985 المأخوذة من القمر الصناعي الأمريكي LANDSAT-5 بدقة 30م.

الخريطة (5) أبعاد المنعطفات والاتوءات النهرية في مجرى شط الحلة لعام (2024)

الاشكال الجيومورفولوجية الناتجة عن الحمولة النهرية في مياه شط الحلة

أ.م.د. أفراح إبراهيم شمخي الحلاوي

الباحثة هدى جاسم عباس الجبوري



المصدر: بالاعتماد على الصورة الفضائية لسنة 2024 المأخوذة من القمر الصناعي الأوروبي SENTINEL-2 وبدقة 10 متر.

نسبة التغير	عرض المجرى (م) 2024	عرض المجرى (م) 1985	الطول(م)	Y	X	مسمى الشكل	ت
0.0000	100	100	1049	3620669	431972	إلتواء المشروع	1
0.0429	70	67	2781	3617496	432632	إلتواء سدة الهندية	2
0.0250	120	117	836	3614378	436673	إلتواء قرية السادة المعافاة	3
0.0300	100	97	839	3610815	437964	منعطف قرية آل مصطفى	4
0.2643	140	103	1853	3610500	440249	منعطف المهناوية	5
0.0556	90	95	2828	3608603	438468	منعطف الشجيرية	6
0.3000	120	84	857	3607164	439861	إلتواء البو علوان	7
0.3519	108	70	3144	3605237	441342	منعطف البو علوان	8
0.2447	94	71	2457	3607040	443422	منعطف الابراهيمية	9
0.0143	70	71	1582	3603089	443494	منعطف برنون	10
0.3692	130	82	2223	3602482	445663	منعطف عنانة	11
0.6105	190	74	1040	3600291	444820	منعطف آثار بابل	12

0.4252	127	73	1593	3597999	445407	منعطف سنجار	13
0.1389	72	62	1109	3597652	447315	منعطف الجمجمة	14
0.0519	77	81	729	3596574	447392	منعطف حي الصحة	15
0.1642	67	56	1984	3595340	446786	منعطف الخسروية	16
0.2706	85	62	1434	3590031	448245	التواء الثيلة	17
0.0375	80	77	597	3589464	449234	منعطف العتايق	18
0.0714	70	65	661	3589337	449962	التواء الدولاب	19
0.0645	62	58	638	3588888	450687	التواء كويخات	20
0.0308	65	63	750	3587671	451263	التواء السادة	21
0.0167	60	61	1028	3584791	454177	التواء فنرة	22
0.0189	53	52	1021	3583316	457693	التواء الحصين	23
0.0656	61	57	1489	3583612	459636	التواء الدغيرات	24
0.0769	52	48	1213	3582866	461643	التواء الرواشد	25
0.0741	54	50	787	3582219	463861	التواء العباسية	26
0.0536	56	53	797	3582128	464808	التواء المزیدية	27
0.0204	49	48	683	3581975	465877	التواء البو سعير	28
0.0169	59	60	1247	3581480	466967	منعطف الهاشمية	29
0.0238	42	41	1068	3582821	469650	منعطف الشرفة	30
0.1111	45	40	1202	3583824	470693	منعطف الزوية	31
0.0408	49	47	1508	3582325	475605	منعطف التياس	32
0.0167	60	61	759	3579334	474519	منعطف البو ركك	33
0.0426	47	45	1140	3577610	476938	منعطف البو شميلة	34
0.0200	50	51	1163	3575876	478186	منعطف البو عيسى	35
0.0492	61	58	1159	3572343	477915	منعطف الخششية	36
0.0313	64	62	1084	3570769	479023	التواء قوجان	37
0.0652	46	43	1271	3569156	480053	التواء الـ شـ كـ رـ	38
0.0816	49	45	845	3567841	482610	منعطف العويدبين	39

المصدر: بالاعتماد على بيانات المرئيات الفضائية لعامي (1985، 2024).

ان التباين في نسب التغير يعكس الفروق المكانية في ديناميكية العمليات الجيومورفولوجية وتقاوت استجابة كل موقع للعوامل الطبيعية والبشرية، فقد سجل التواء المشروع ارتفاعا في العرض من 70 متراً عام 1985 إلى 130 م عام 2024 بنسبة زيادة 86% بينما بقي عرض منعطف الزوية شبه مستقر عند 40 متر خلال الفترة ذاتها، وكما اتضح أن متوسط عرض النهر عند الالتواءات ارتفع من 87 متراً عام 1985 إلى 99 متراً عام 2024، بينما بلغ متوسط عرض النهر عند الانعطافات 69 متراً في 1985

الاشكال الجيومورفولوجية الناتجة عن الحمولة النهرية في مياه شط الحلة

الباحثة هدى جاسم عباس الجبوري

أ.م.د. أفرار إبراهيم شمخي الحلاوي

مقابل 87 مترا في 2024. تشير هذه النتائج إلى وجود اتجاه إحصائي واضح نحو توسيع المجرى النهرية خلال العقود الأخيرة، وتتجدر الإشارة إلى أن الانتواءات الأكثر تعرضاً وأعقد في التكوين الهندسي أبدت استجابة أكبر لموجات الجريان العالية المتذبذبة، خاصة مع انخفاض مقاومة الضفاف وتراجع الغطاء النباتي في حين أن الواقع التي شهدت استقرار أو انخفاض طفيف في العرض في الغالب ارتبطت بتدخلات بشرية فعالة كمشاريع تثبيت أو تقنين الضفاف التي نفذت في بعض القطاعات لعدة كيلومترات، أو بخصائص تربة متماسكة في أماكن أخرى.

اما بالنسبة لطول الجزء المترعرع المحسوب للجرى بين عامي المقارنة فقد سجل زيادة بمقدار 21.213 مترا، اذ بلغ الطول التراكمي للالتواءات والمنعطفات في عام 1985 (101.285.76) ازداد ليبلغ عام 2024 (101.498.97) وبذلك يكون الفرق المتبقى 2.5 كيلومتر لمقاطع المستقيمة غير المتضمنة في التحليل الهندسي ليبلغ الطول الكلي للجرى 104 كم ، اما عرضه فقد ارتفع بمتوسط عام من (65 مترا الى 77 مترا) في عام 2024 نتيجة لتقديم المنعطفات، كما أظهرت حسابات التغيرات القصوى والدنيا في العرض أن التوء قرية السادة المعافة كان أعرض مقطع في عام 1985 بلغ (117 مترا) بينما سجل منعطف آثار بابل أقصى عرض في 2024 عام بلغ (190 مترا) هذا التوسيع الشديد بفعل النحت الجانبي و تغير المسارات الهيدرولوجية بحسب الانحدار الذي يكون أعلى نسبيا هنا من بقية المناطق والذي يعمل على تقوية شدة الجريان، أما أدنى القيم سجلت في المقاطع الجنوبية فظللت مستقرة نسبياً وهي دلالة على ان هناك حدود طبيعية لمدى التوسيع في بعض القطاعات الروسوبية شديدة التماسك.

النتائج:

1. الحمولة النهرية المعلقة (TSS) ترتبط بقوة مع التصريف المائي ($0.9 > 2$)، حيث تزداد مع ارتفاع الجريان، بينما تنخفض الحمولة القاعية في مواسم الذروة، وهو ما يشير إلى انتقال المواد من الحمل القاعي إلى المعلق وهيمنته على حمولة المجرى.
2. أظهرت التحليلات الفيزيائية والكيميائية للمياه أن بعض المؤشرات وخصوصاً (pH، درجة الحرارة، EC، العسرة، النترات) تؤدي دوراً مباشراً في التحكم بتركيب الحمولة الذائبة، وتبلد وتكتل الحمولة العالقة وترسيبها إلى القاع لتشكل طبقات صفائح درعية تقاوم الجرف والجريان، مما يعكس التداخل بين العمليات الطبيعية والتأثيرات البشرية.
3. طول المجرى تغير بشكل طفيف بين 1985 و2024، لكن درجة التعریج ارتفعت في بعض المقاطع، كما ازداد العرض الوسطي للأنهاءات من 92 م عام 1985 إلى 103 م عام 2024، أي بزيادة نسبية بلغت 11.4%， مما يعكس اتساع المجرى نتيجة النحت الجانبي والتوصير الروسي المتعاقب.

المصادر

1. الأستاذ، صفاء عبد الأمير رشـم، الحمولة النهرية في شط العرب وآثارها البيئية، رسالة ماجستير، كلية التربية، جامعة البصرة، 2012.
2. الدائم، فريد عبد، الأنـهـار: دراسة جـيـوـمـورـفـوـلـوـجـيـة تـطـبـيـقـيـة، دار الفـكـرـ، الـقـاهـرـةـ، 2012.
3. الدليمي، خـلـفـ حـسـينـ، التـضـارـيـسـ الـأـرـضـيـةـ درـاسـةـ جـيـوـمـورـفـوـلـوـجـيـةـ عـمـلـيـةـ تـطـبـيـقـيـةـ، دـارـ صـفـاءـ لـلـنـشـرـ وـالـتـوزـيـعـ، عـمـانـ، 2011ـ.

الاشكال الجيومورفولوجية الناتجة عن الحمولة النهرية في مياه شط الحلة

أ.م.د. أفراح إبراهيم شمخي الحلوى

الباحثة هدى جاسم عباس الجبوري

4. Binh, D. V., Kantoush, S. A., & Sumi, T. (2020). Impact Of Hydropower Development on Sediment Dynamics in The Mekong River Basin. *Sustainability*, 12(7), 2932. <Https://Doi.Org/10.3390/Su12072932>.
5. Brierley, Gary J., and Kirstie A. Fryirs. *Geomorphology and River Management*. Blackwell Publishing, 2005.
6. Charlton, Ro. *Fundamentals of Fluvial Geomorphology*. Routledge, 2008.
7. Huggett, Richard J. *Fundamentals of Geomorphology*. Routledge, 2017.
8. Julien, Pierre Y. *River Mechanics*. Cambridge University Press, 2018.
9. Knighton, David. *Fluvial Forms and Processes: A New Perspective*. Arnold Publishers, London, 1998.
10. Kondolf, G. Mathias, and Hervé Piégay. *Tools in Fluvial Geomorphology*. Wiley Blackwell, 2016.
11. United States Department of Agriculture, *Soil Survey Manual*, Usda Handbook No. 18, Washington, D.C.: U.S. Government Printing Office, 1993, Pp. 141–144.

12. Wang, Zhao-Yin, Joseph H.W. Lee, and Charles S. Melching. River Dynamics and Integrated River Management. Springer, 2016.